

Expérience d'enseignement

QUALIFICATIONS

- ↳ 2011 Agrégation de Sciences physiques, option Physique – reçu 2^{ème}
- ↳ 2017 Qualification aux fonctions d'enseignant-chercheur

MONITORAT

- ↳ 32h TD L1 Etudes médecine & santé (PACES) – Isabelle Grenier
- ↳ 32h TP M1 Systèmes et signaux déterministes – Laurent Daudet
- ↳ 128h TD L1 Mécanique du point – Cécile Roucelle

EN POSTDOC

- ↳ 60h cours M2 Computational methods for Astrophysics – Ileyk El Mellah
- ↳ 40h TD M2 Computational methods for Astrophysics – Rony Keppens
- ↳ 30h TD L1 Algèbre linéaire – Rony Keppens
- ↳ Co-encadrement de la thèse de Nicolas Moens avec Jon Sundqvist
“Radiation-hydrodynamics of the most massive stars in our Universe”

université

PARIS
DI
DEROT
PARIS 7

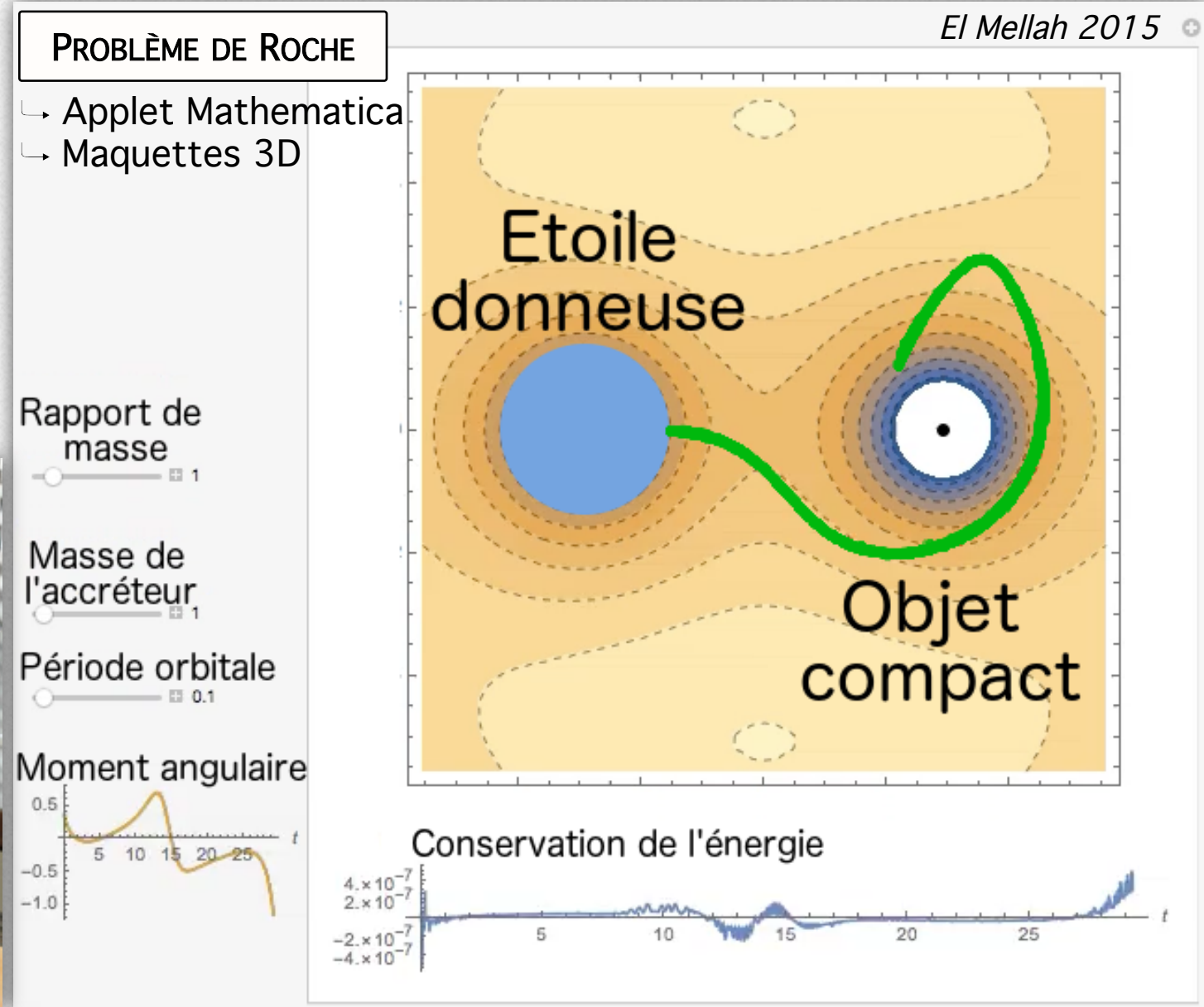
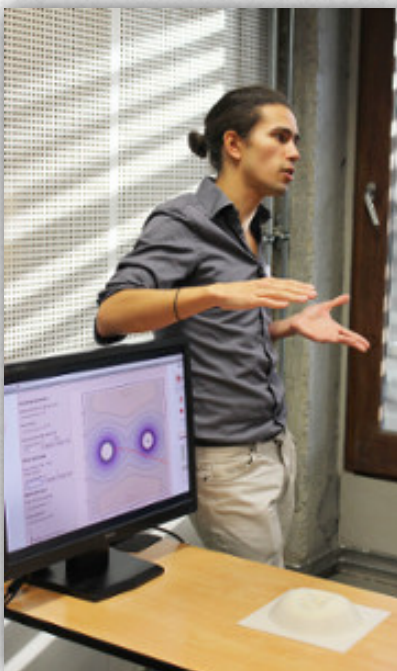
KU LEUVEN

Méthodologie pédagogique

Assimilation

- ↳ inductive
- ↳ immersive
- ↳ interactive

Fête de la Science 2015



Insertion dans l'équipe pédagogique



Nouvelles maquettes L1 & Master (2019) puis L2/L3 (2020)

Diversification des profils des étudiants : majeur / mineur

- ↳ Parcours Mathématiques Informatique Physique Ingénierie
- ↳ Parcours Physique Chimie Géosciences Ingénierie

LICENCE

UFR de Physique

- ↳ TD
- ↳ TP
- ↳ CM par la suite
- ↳ UE Physique Méca
- ↳ L1-L2 ARE
- ↳ L1 Python

Faculté de Médecine

- ↳ PACES

CAPES/AGRÉGATION

Agrégation

- ↳ Centre de Montrouge
- ↳ Leçons
- ↳ Montages expérimentaux

M2 métiers de l'enseignement

- ↳ CAPES

MASTER

M1 Astro. & Comologie

- ↳ TP numériques

M1 Méthodes numériques et informatiques

Résolution numérique

- ↳ Systèmes d'EDP
- ↳ Différences finies
- ↳ Volumes finis
- ↳ Monte-Carlo

Conclusion

T R A V A U X

Thèse soutenue en Septembre 2016

Compétence numérique transverse, simulations haute performance

Modélisation d'objets compacts en interaction avec leur environnement

Mots-clés : objets compacts, accrétion, systèmes binaires, vents

11 papiers

5 1er auteur

323 citations

h-index : 7

i10-index : 5

P R O J E T

Contreparties électromagnétiques de la coalescence d'objets compacts

- ↳ à court terme : paramétrisation du lancement du vent / du jet / de l'éjecta
- ↳ à moyen terme : couplage magnétosphère / disque
- ↳ à long terme : accrétion / éjection, nucléosynthèse et émission

ENSEIGNEMENT

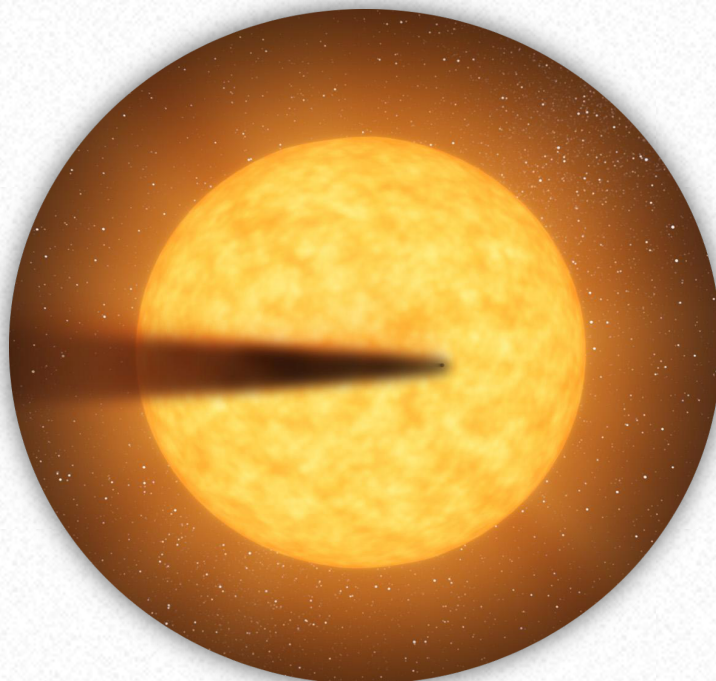
Agrégation & qualification, ~300h de cours depuis 6 ans

- ↳ Licence
- ↳ Agrégation / CAPES
- ↳ Master

Thème de recherche & travaux préliminaires



*Les étoiles et leurs reliquats,
en interaction avec leur environnement*



Rappaport, Levine, Chiang, El Mellah et al., ApJ 2012

- ↳ Sub-Mercure en désintégration
- ↳ ma contribution : identification & modélisation

Sanchis-Ojeda et al., ApJ 2014

- ↳ Exoplanètes à courte période
- ↳ ma contribution : algorithme de recherche

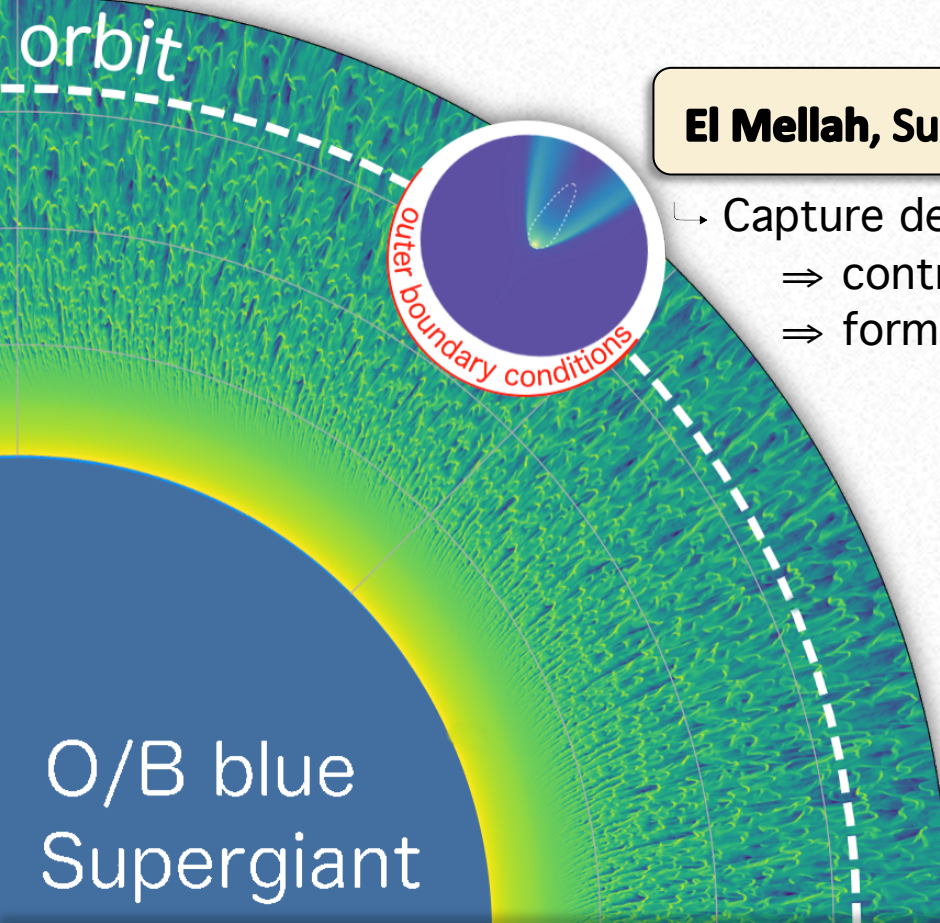
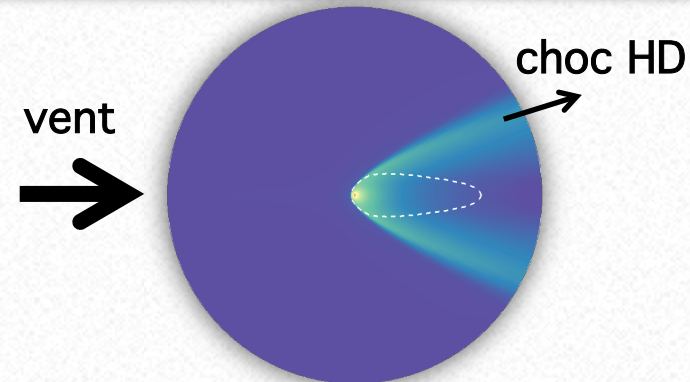
Rappaport et al., ApJ 2013

- ↳ Systèmes triples
- ↳ ma contribution : réduction de données

Binaires X de forte masse – Le vent stellaire

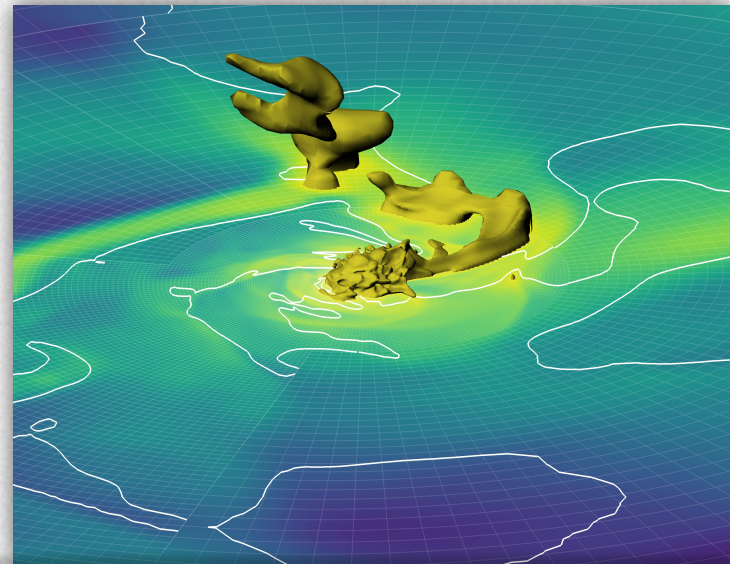
El Mellah & Casse, MNRAS 2015

- Accrétion d'un vent homogène par un objet compact
 - mesure du taux d'accrétion de masse
 - structure du choc hydrodynamique



El Mellah, Sundqvist & Keppens, MNRAS 2018

- Capture des clumps et variabilité temporelle de l'émission
 - contribution mineure des clumps à la variabilité
 - formation de disques transitoires

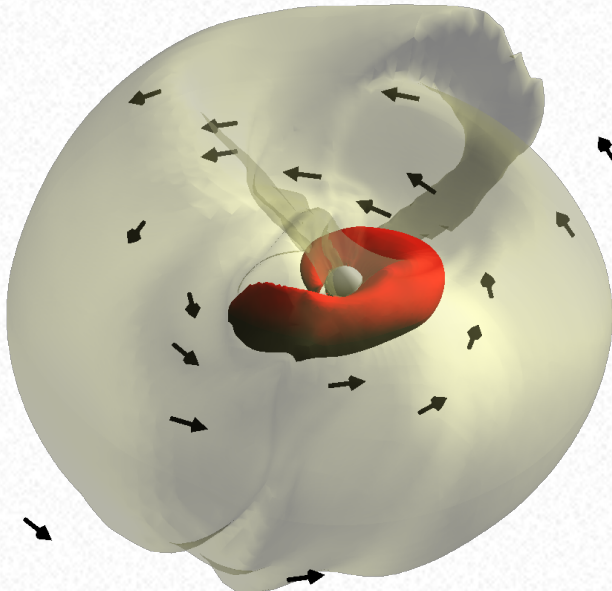


Binaires X de forte masse – Le flot d'accrétion

El Mellah & Casse, MNRAS 2017

WASO code

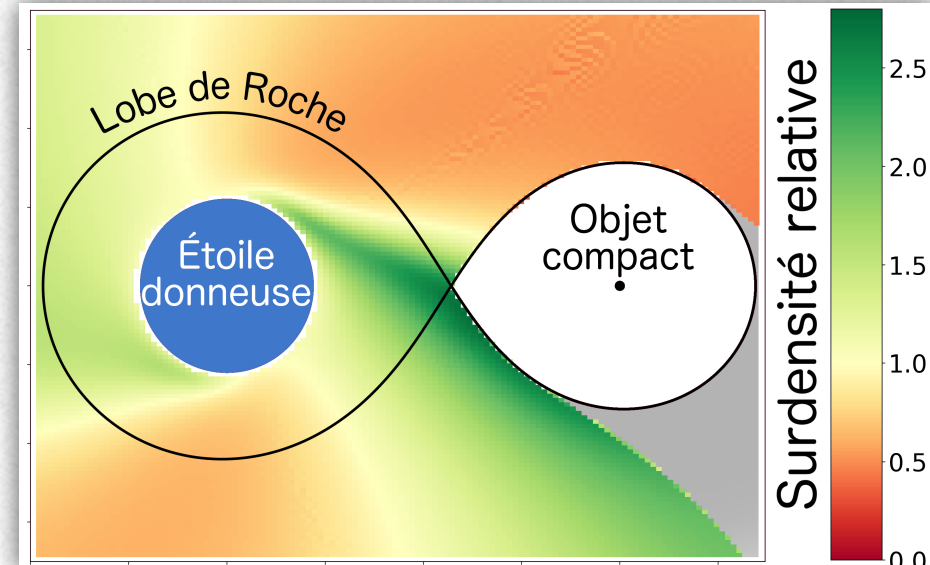
- Identification des paramètres favorables à la formation d'un disque



El Mellah, Sundqvist & Keppens, A&A 2019

El Mellah, Sander, Sundqvist & Keppens, A&A 2019

- Caractérisation des disques formés par capture du vent
 - ⇒ origine du disque observé dans Cygnus X-1
 - ⇒ prédiction d'un disque dans Vela X-1

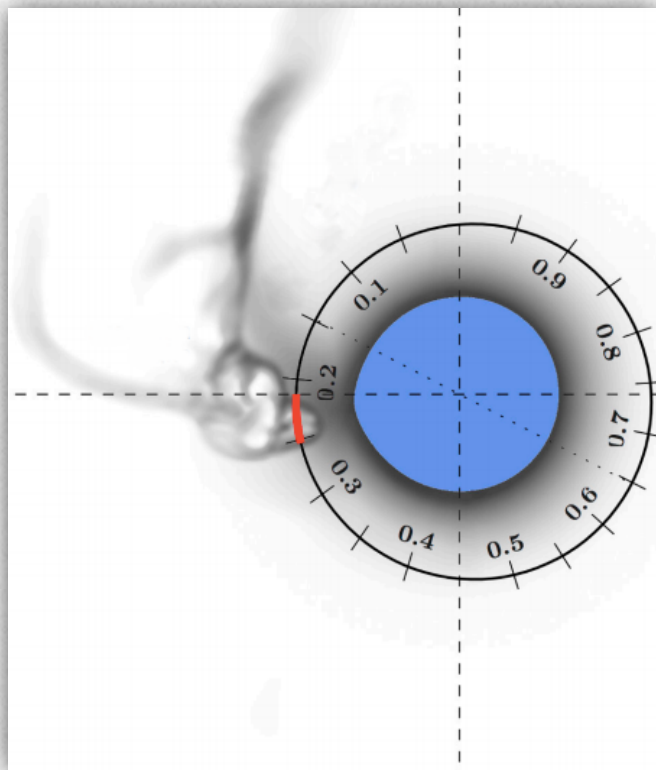


- Nouveau mécanisme de transfert de masse accéléré dans les systèmes binaires
⇒ les sources X ultra-lumineuses ne nécessitent pas de remplissage de lobe de Roche (eg M101 ULX-1)

Binaires X de forte masse (et supergéantes rouges) – le vent stellaire

Grinberg, Hell, El Mellah et al., A&A 2017

- ↪ Variabilité de l'absorption dans Vela X-1
- ↪ ma contribution : modèle stochastique
- ⇒ vent plus lent que prévu

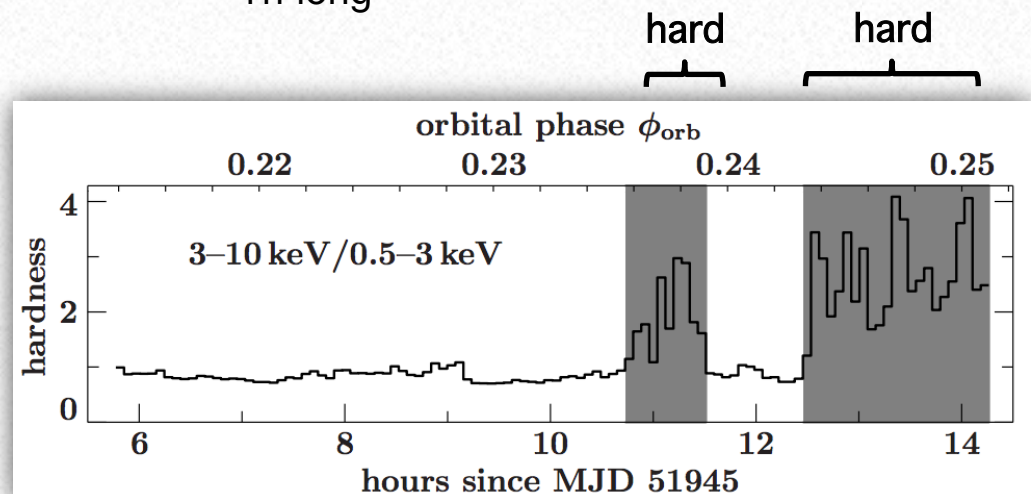


Phase ~ 0.25

- ↪ no tail in the L.O.S

Hardness enhanced

- ↪ not from source
- ↪ increase in N_{H} (x7)
- ↪ 1 h long



Due to clump event?

- ↪ too small (1% of R_{star})
- ↪ too packed
- ↪ too fast ($\sim 1,000 \text{ km/s}$)

ATHENA

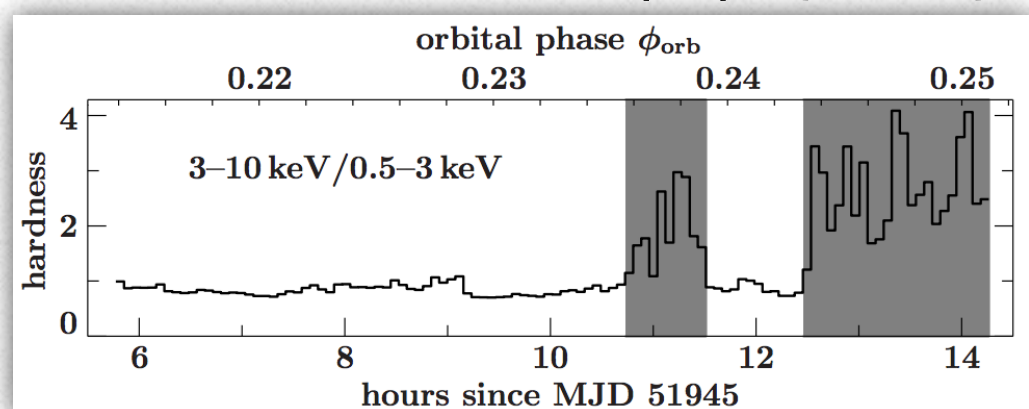
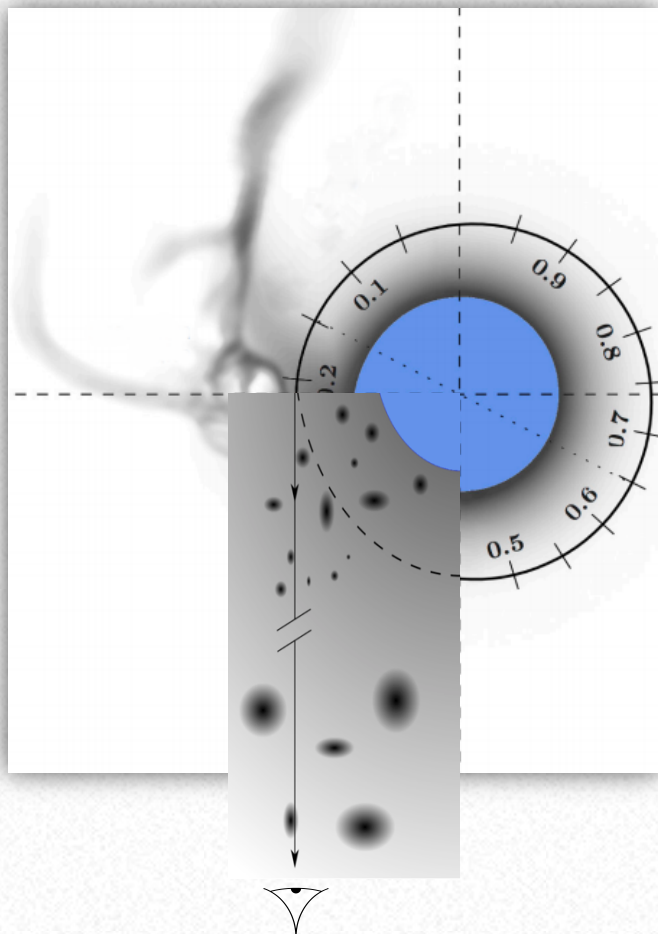


Binaires X de forte masse (et supergéantes rouges) – le vent stellaire

Grinberg, Hell, El Mellah et al., A&A 2017

ATHENA

- ↪ Variabilité de l'absorption dans Vela X-1
- ↪ ma contribution : modèle stochastique
- ⇒ vent plus lent que prévu



Due to clump event?

- ↪ too small (1% of R_{star})
- ↪ too packed
- ↪ too fast ($\sim 1,000 \text{ km/s}$)

Phase ~ 0.25
↪ no tail in the L.O.S

Hardness enhanced
↪ not from source
↪ increase in N_{H} (x7)
↪ 1h long

Méthodologie : modélisation & simulations numériques

MPI-AMRVAC 2.0

LA PHYSIQUE

- ↪ lois de conservation (magnéto-)hydrodynamiques
- ↪ transfert radiatif
- ↪ classique ou relativiste

$$\text{flux} + \text{sources} \Rightarrow \partial_t$$

CALCUL HAUTE PERFORMANCE

- ↪ parallélisable sur des milliers de CPU
- ↪ 3Mh·CPU consommées

CONTRIBUTIONS SIGNIFICATIVES

- ↪ grille auto-similaire
- ↪ conservation du moment angulaire
- ↪ flux visqueux

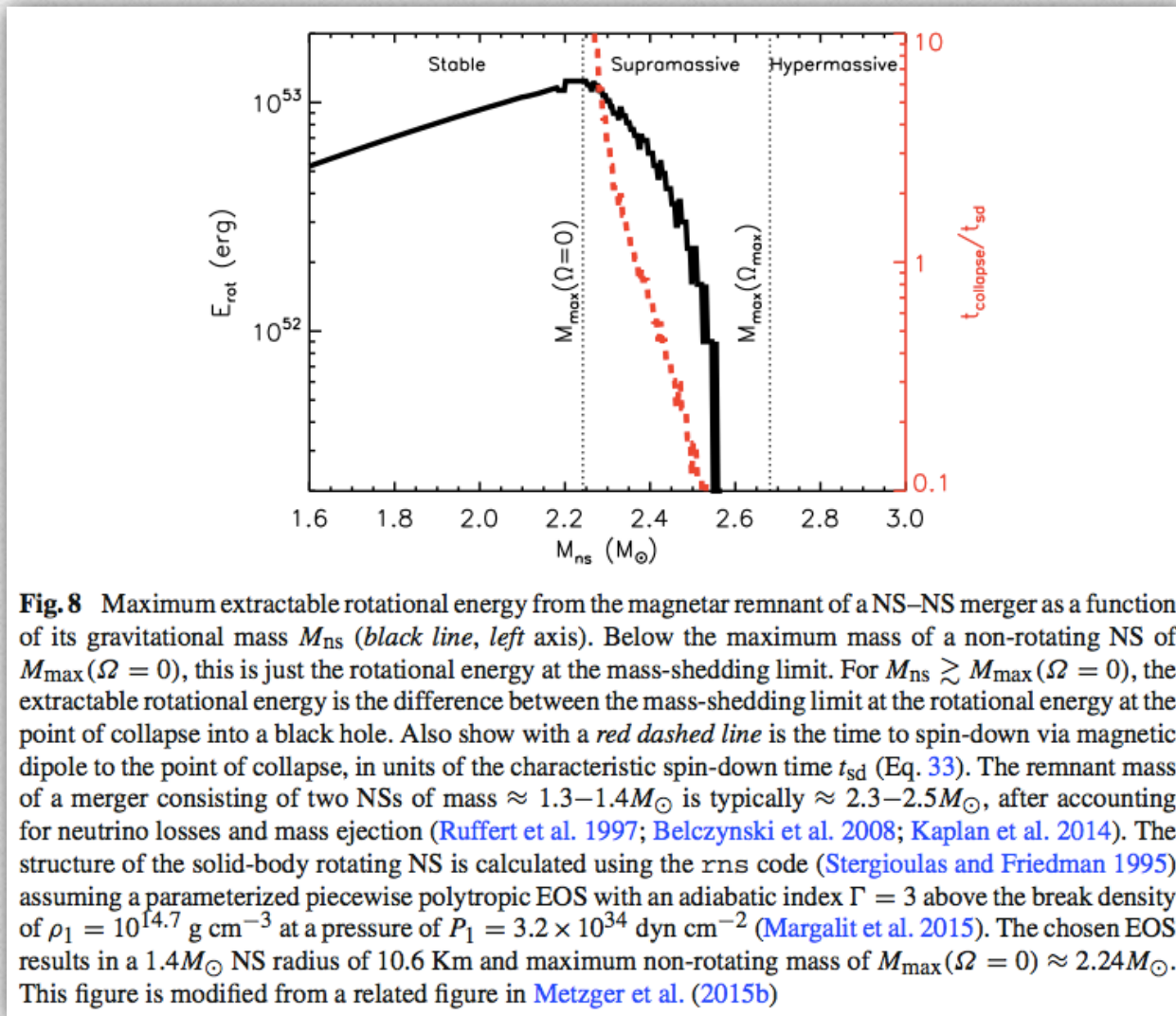
LE NUMÉRIQUE

- ↪ volumes finis
- ↪ maille adaptative
- ↪ géométries multiples



Xia, Teunissen, El Mellah et al., ApJS 2018

Stabilité de l'étoile à neutrons reliquat



Coalescence et émission

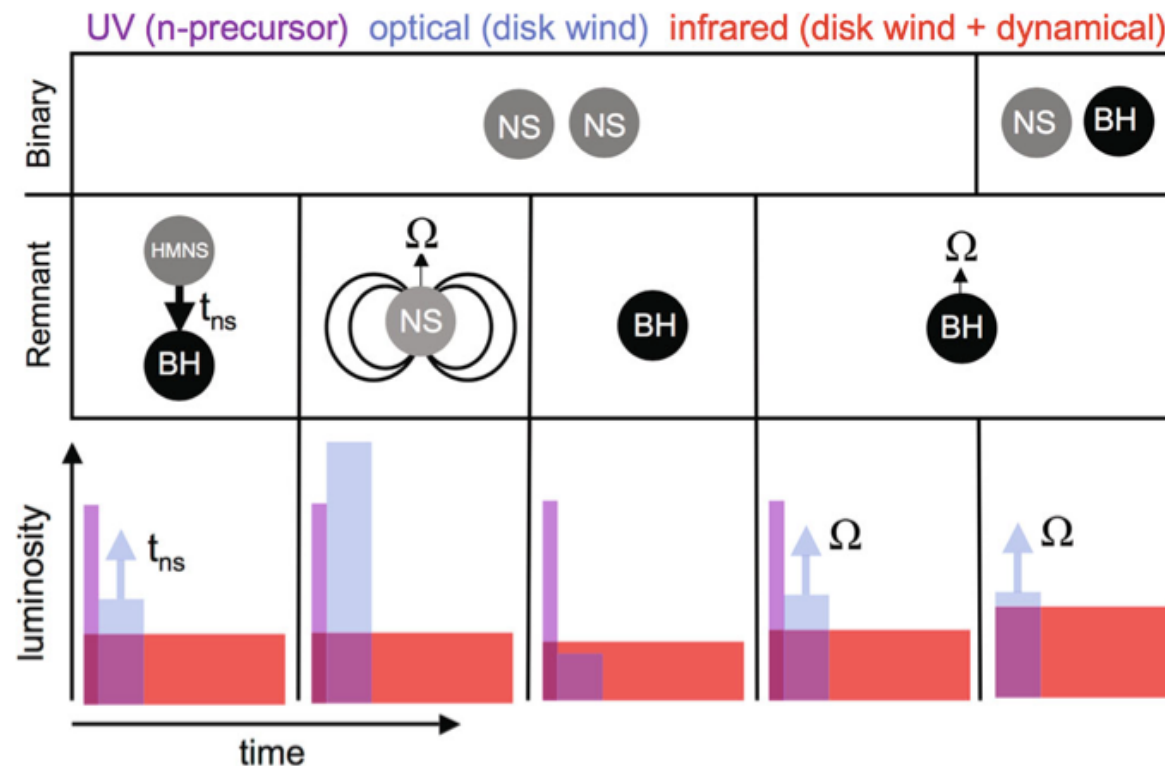


Fig. 13 Schematic illustration of the mapping between mergers and kilonova light curves. The *top panel* shows the progenitor system, either an NS–NS or an NS–BH binary, while the *middle plane* shows the final merger remnant (from left to right: an HMNS that collapses to a BH after time t_{collapse} , a spinning magnetized NS, a non-spinning BH and a rapidly spinning BH). The *bottom panel* illustrates the relative amount of UV/blue emission from an neutron precursor (purple), optical emission from lanthanide-free material (blue) and IR emission from lanthanide containing ejecta (red). We caution that the case of a NS–NS merger leading to a slowly spinning black hole is very unlikely, given that at a minimum the remnant will acquire the angular momentum of the original binary orbit. Image reproduced with permission from Kasen et al. (2015), copyright by the authors

Coalescence et émission

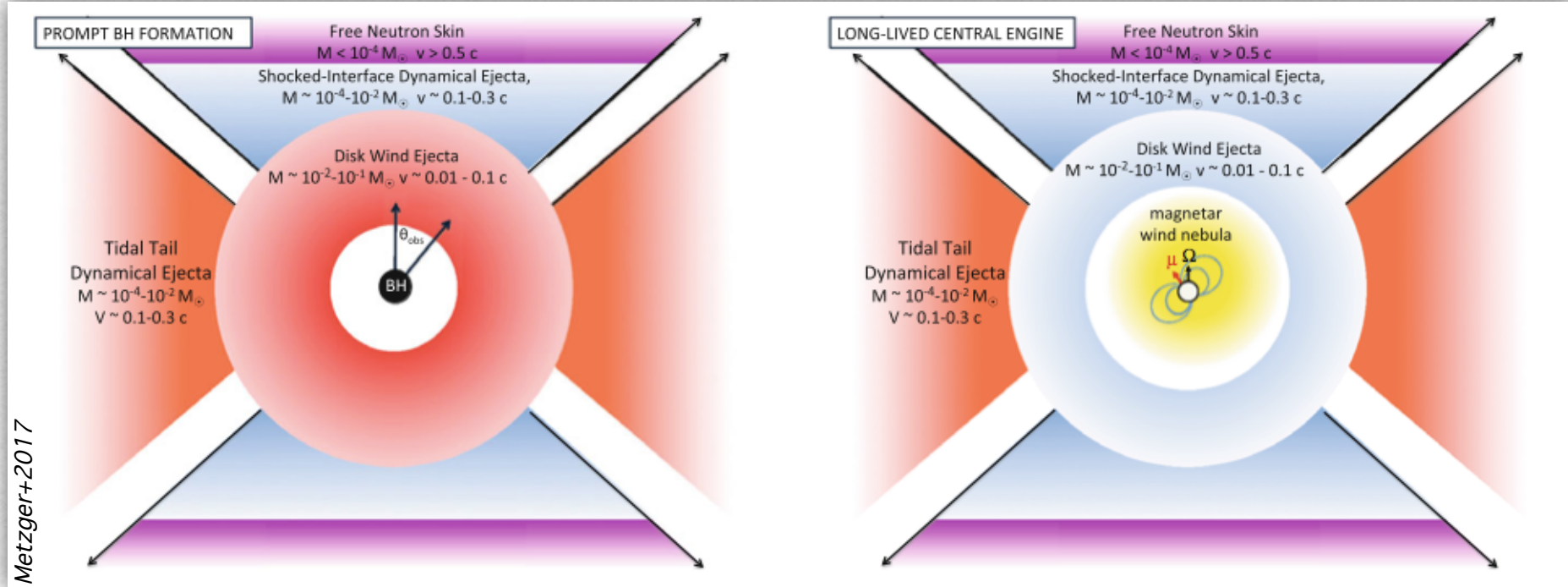


Diagramme de Corbet

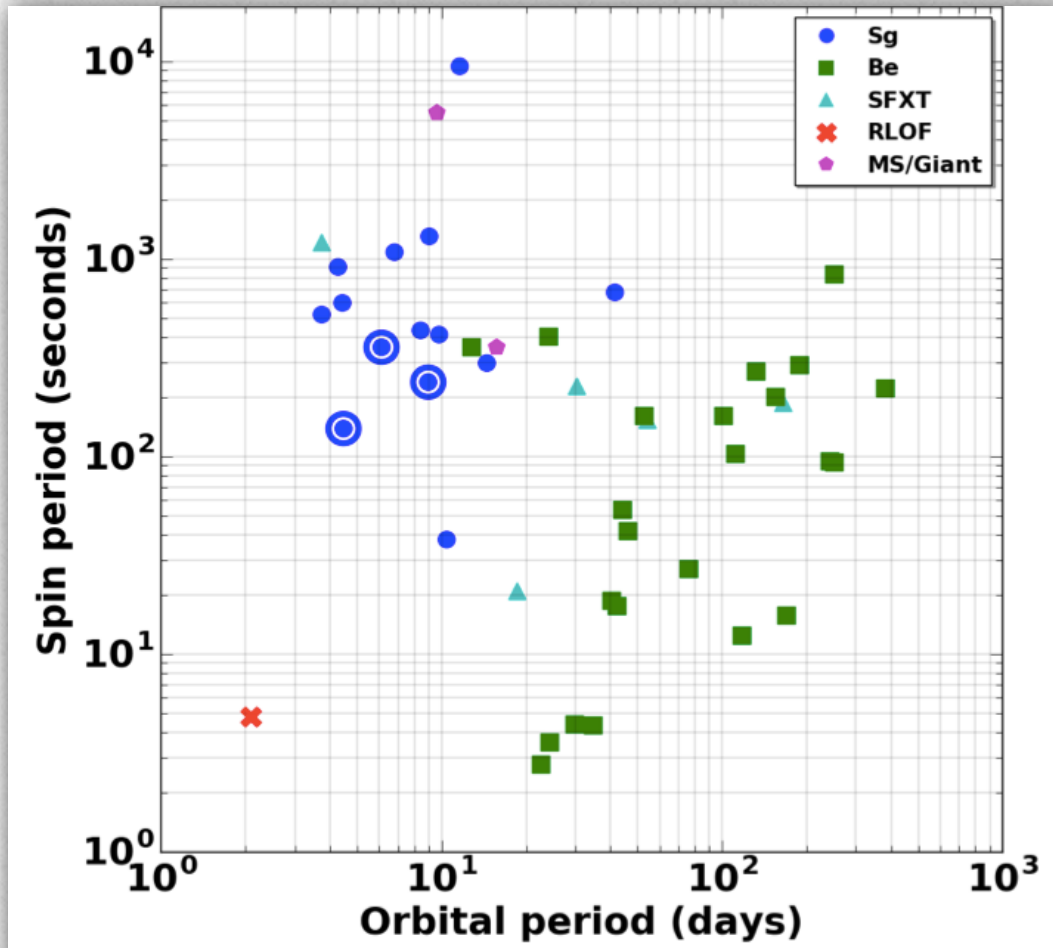
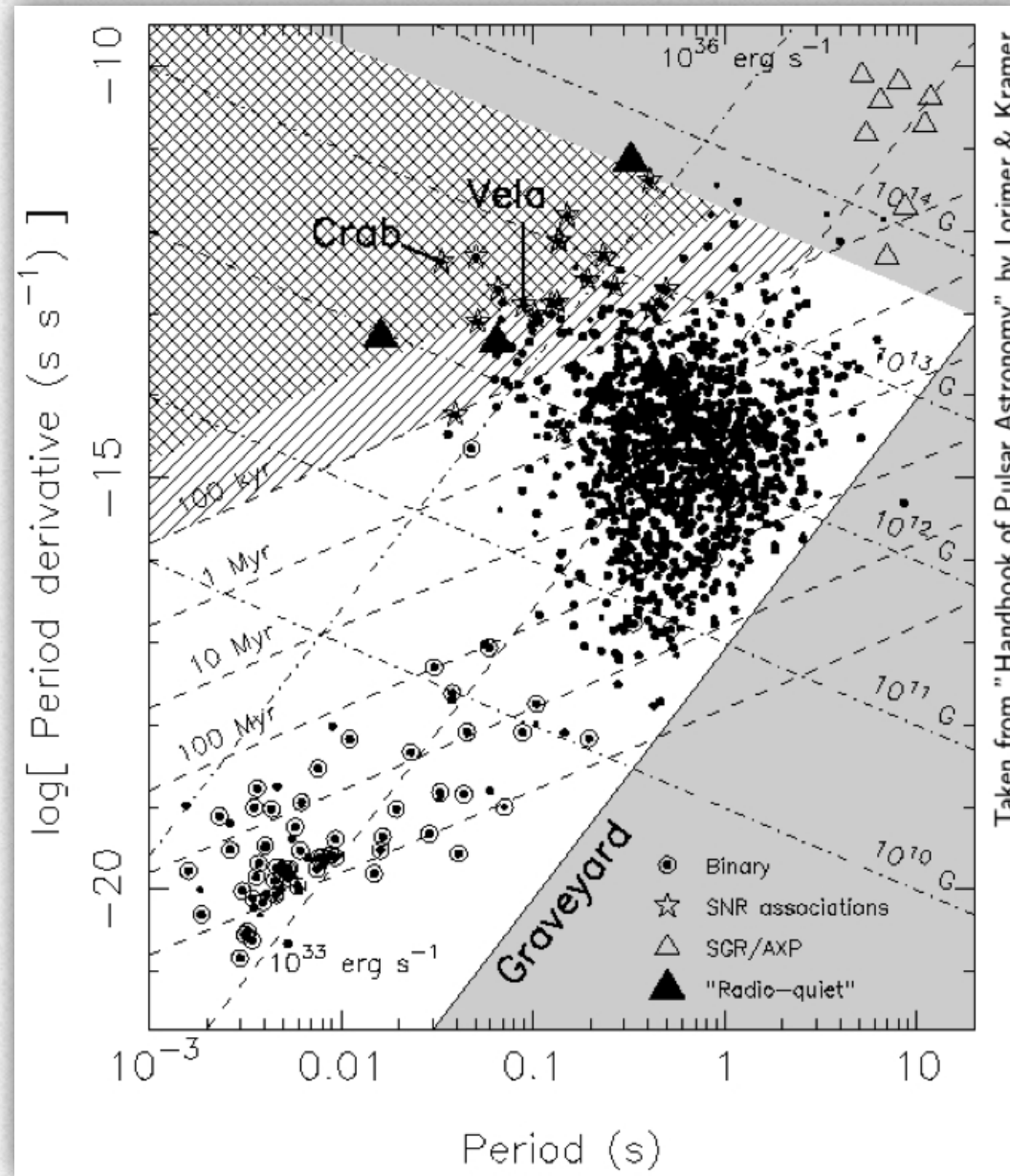
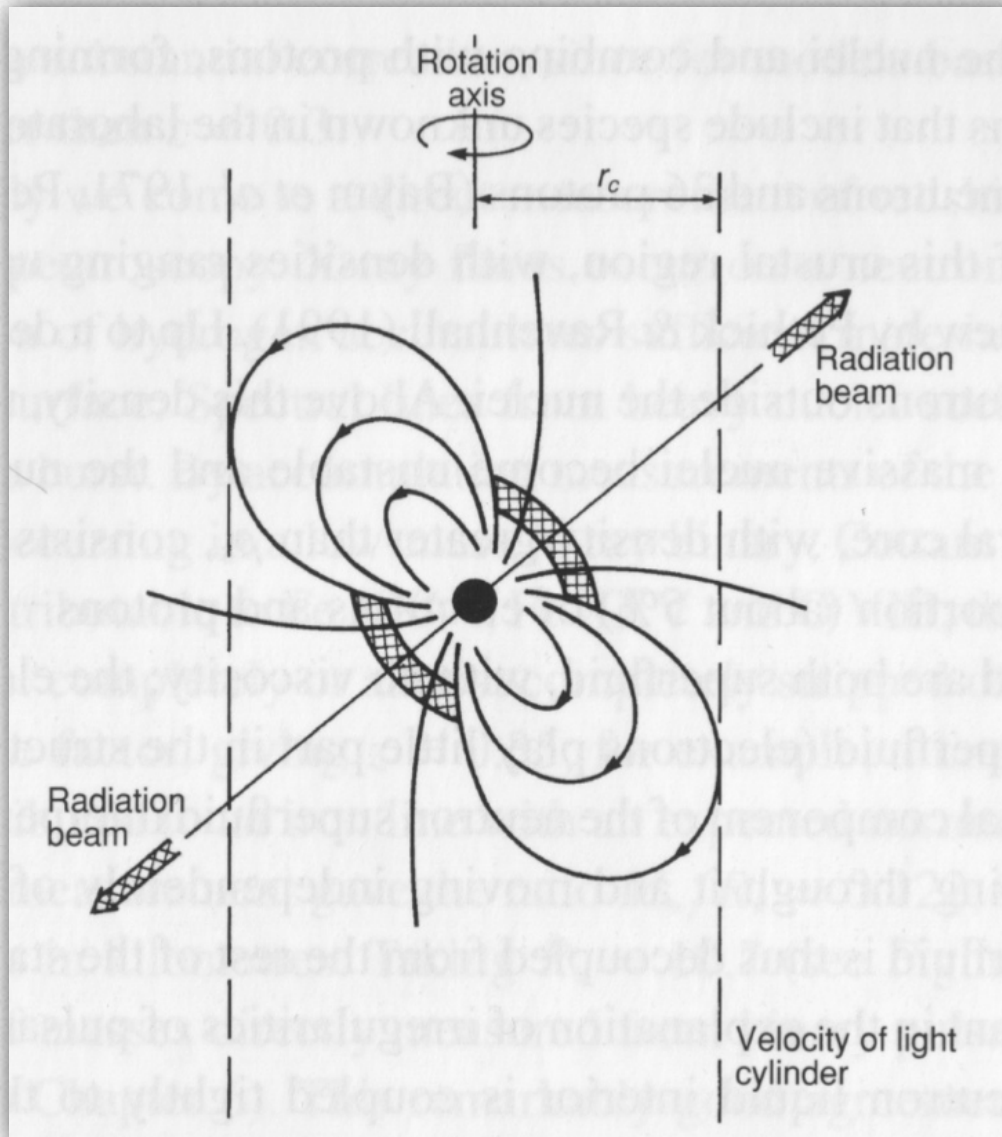


Figure 2.4: Corbet diagram of Galactic HMXB hosting a NS. The NS spin is represented as a function of the orbital period of the binary, for systems where both are measured. For BeXB (green squares), a correlation exists between the two, not in the case of SgXB (blue dots). In the bottom left part of the Figure is the only RLOF system among this sample (red cross), Cen X-3. See (van der Meer et al., 2007) for a joint study of two other RLOF HMXB hosting a neutron star, SMC X-1 and LMC X-4 (both extragalactic). SFXT and systems with an atypical donor star have also been represented. The three circled SgXB are the sources investigated in more details in Chapter 8.

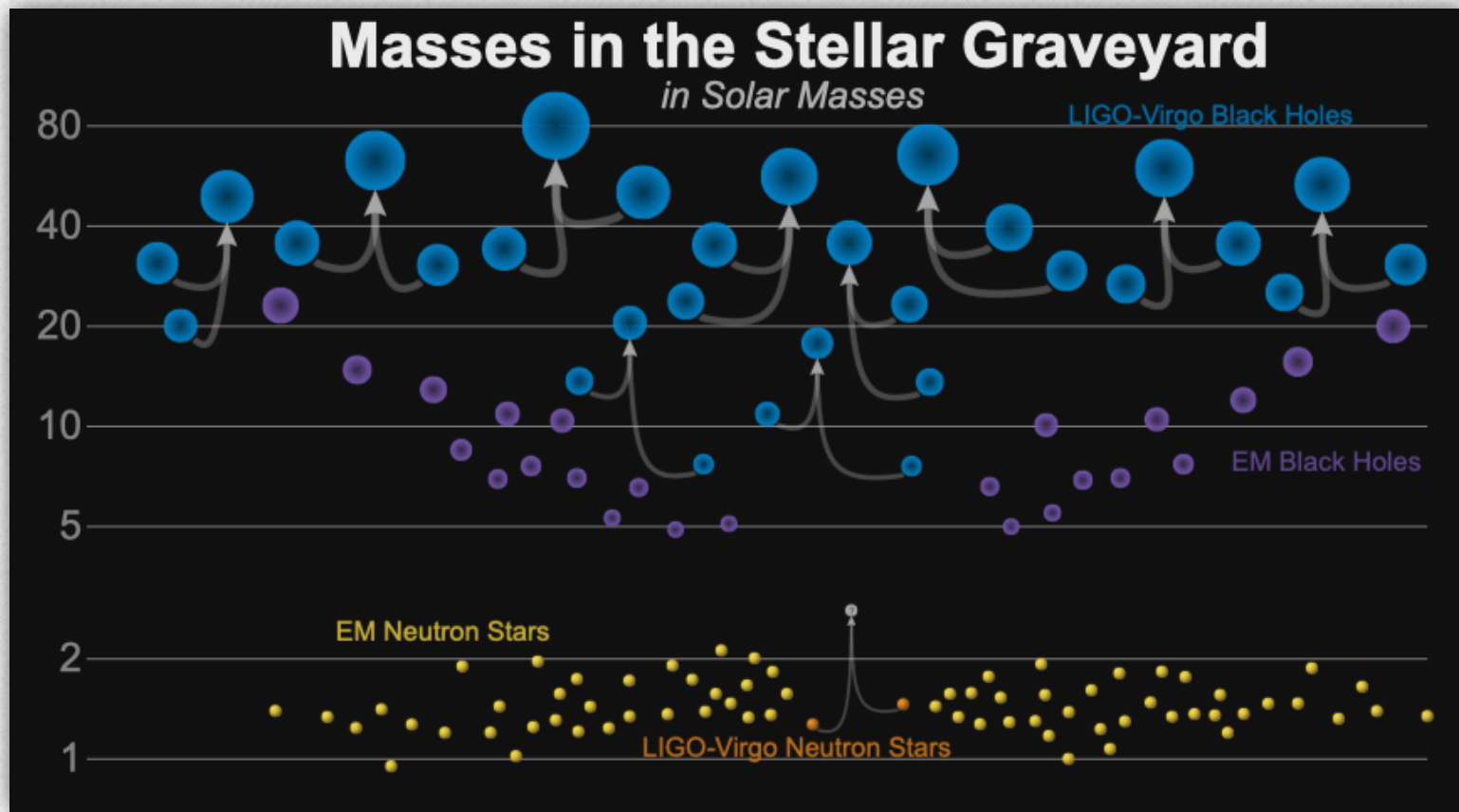
Diagramme P-Pdot



Emission radio des pulsars



Contreparties électromagnétiques de la coalescence d'objets compacts



*"We should not expect the first [...] GW chirps from NS-NS/BH-NS mergers to be accompanied by a GRB [because] the jetted GRB emission will be relativistically beamed out of our **line of sight**"*

Metzger 2017

Kilonova bleue et lumineuse avec sursaut gamma ténu

Troja+2018

Synthèse du projet de recherche

